

04; 10

© 1990 г.

## РАЗВИТИЕ РЕЗОНАНСНОЙ ПУЧКОВОЙ НЕУСТОЙЧИВОСТИ ПРИ ИНЖЕКЦИИ ЭЛЕКТРОННОГО СГУСТКА В ПЛАЗМУ

П. В. Веденин

В одномерном приближении исследованы особенности развития резонансной пучковой неустойчивости, возбуждаемой в плазме электронным сгустком с пологими фронтами. Аналитически и численно изучена динамика продольного электрического поля, исследовано влияние формы сгустка на развитие процесса. Оценены энергопотери сгустка, найдено их пространственное распределение.

1. В связи с предложенными в последнее время многочисленными применениями релятивистских электронных сгустков [1, 2] возникает необходимость исследования их устойчивости, в частности, относительно раскачки плазменных колебаний. Развитие резонансной пучковой неустойчивости в рамках задачи стационарной инжекции изучено достаточно полно, однако, если вносимыми фронтом пучка возмущениями пренебрегать нельзя (нестационарная инжекция), в динамике неустойчивости, как показано в [3-5], появляется ряд особенностей. Естественно ожидать, что картина усложнится (это подтверждает и анализ численных расчетов [6-9]) в случае инжекции в плазму электронного сгустка произвольной формы. Насколько известно автору, аналитическое описание коллективных процессов, сопровождающих транспортировку такого сгустка, пока отсутствует (в [10] описана динамика сгустка с резкими фронтами на начальной стадии, предшествующей пересечению траекторий).

В данной работе аналитически в одномерном приближении рассмотрено развитие резонансной пучковой неустойчивости, возбуждаемой в холодной бесстолкновительной плазме моноэнергетическим электронным сгустком произвольной формы с пологими фронтами (длительности фронтов больше периода плазменных колебаний), оценены энергопотери сгустка, найдено их пространственное распределение. Полученные результаты проверены с помощью численных расчетов.

2. Постановка задачи та же, что и в [3, 4], а именно: в момент времени  $t=0$  в плоскости  $z=0$  начинается инжекция электронов в полупространство  $z>0$ , заполненное холодной однородной плазмой. В плоскости инжекции задана плотность пучкового тока  $j_{b0}(t) = ev_0 n_{b0}(t)$  ( $v_0 = \text{const}$ ,  $n_{b0}(t) \ll n_p$ ,  $n_p$  — равновесная концентрация плазмы). Для рассматриваемых быстропеременных процессов возмущением ионов можно пренебречь. Электроны замагничены сильным продольным магнитным полем. В этом случае задачу можно рассматривать в одномерном приближении, если  $(\omega_p a / v_0 \gamma_0)^2 \gg 1$  [3], где  $a$  — характерный поперечный размер системы,  $\gamma_0^2 = 1 - \beta_0^2$ ,  $\beta_0 = v_0 / c$ . Условие линейности плазмы будет получено ниже.

Под сгустком с пологими фронтами подразумевается импульс тока, плотность которого имеет вид

$$j_{b0}(t') = ev_0 n_{bm} \begin{cases} \rho(\alpha t') & 0 \leq t' \leq t_n, \\ 0 & t' < 0, t' > t_n, \end{cases}$$

где  $t' = t - (z/v_0)$ ;  $n_{bm} = \max \{n_{b0}(t')\}$ ;  $\alpha = (\omega_p t_0)^{-1}$ ;  $t_0 = t_n/k$ ;  $k$  — число, зависящее от формы: например, для  $\rho = \sin(\pi(t'/t_n))$   $k = \pi$ ; функция  $\rho(\alpha t')$  не имеет разрывов производной любого порядка.

Прежде чем приступить к рассмотрению самосогласованной задачи, обсудим спектр колебаний, возбуждаемых «заданным» (недеформируемым) сгустком с пологими фронтами в холодной бесстолкновительной плазме. Из уравнения Максвелла и линеаризованного уравнения движения для электронов плазмы получаем неоднородное дифференциальное уравнение второго порядка с постоянными коэффициентами, частное решение (колебания, возбуждаемые фронтом) которого имеет вид

$$E_z(\tau) = E_0 \int_0^\tau d\mu \frac{d\rho(\alpha\mu)}{d\mu} \sin(\tau - \mu), \quad (1)$$

где  $E_0 = (4\pi |e| v_0 n_{bm})/\omega_p$ ,  $\tau = \omega_p t'$ .

Интегрируя (1) по частям с использованием малости параметра  $\alpha$ , легко найти, что возбуждаемое продольное поле представляет собой суперпозицию низкочастотного  $\bar{E}(\tau) \simeq E_0 (d\rho(\alpha\tau)/d\tau)$  и высокочастотного  $\bar{E}(\tau) \simeq -E_0 (d\rho(\alpha\tau)/d\tau)_{\tau=0} \cos \tau$  членов, к исследованию динамики которых мы и переходим.

Для учета обратного воздействия поля на сгусток необходимо к упомянутым двум уравнениям подключить линеаризованные уравнения движения и непрерывности для электронов сгустка, ввести переменную  $\xi = (\omega_p z)/v_0$  ( $\omega_p^2 = (4\pi e^2 n_{bm})/(m\gamma_0^3)$ ), произвести преобразование Лапласа по  $\xi$  и, решив уравнение для Лаплас-образа поля  $E_q(\tau)$ , перейти к функции-оригиналу  $E_z(\tau, \xi)$ . Опуская вывод, подробно описанный в [3], сразу запишем следующее уравнение для  $E_q(\tau)$ :

$$\left(\frac{d^2}{dx^2} + \frac{1}{\alpha^2 \Omega}\right) V_q(\tau) = \frac{h(x)}{\alpha}, \quad (2)$$

где

$$x = \alpha\tau = \frac{z'}{v_0}, \quad 0 \leq x \leq k, \quad \Omega = 1 + \frac{\rho(x)}{q^2}, \quad V_q(\tau) = \frac{\Omega E_q}{E_0}, \quad h(x) = \frac{1}{q} \frac{d\rho(x)}{dx}.$$

В случае сгустка с пологими фронтами ( $\alpha \ll 1$ ) уравнение решается методом ВКБ. Переход к функции-оригиналу осуществляется с помощью метода перевала аналогично тому, как это сделано в [3]. Опустив громоздкие преобразования, запишем сразу выражение для продольного электрического поля. Если  $\rho^{(1)}(0) = \rho^{(2)}(0) = \dots = \rho^{(2n)}(0) = 0$ , то оно имеет вид

$$E_z(\tau, \xi) = E_0 \left[ F(\tau, \xi) + (-1)^{n+1} \alpha^{2n+1} \rho^{(2n+1)}(0) \exp(\sqrt{3}x) \cos \Phi \frac{1}{\sqrt{8\pi x}} \right], \quad (3a)$$

где  $F(\tau, \xi)$  — низкочастотный член (его роль будет выяснена позже),  $F(\tau, 0) = (d\rho)/(d\tau)$ ,  $x = (3/4) [\xi^2 (\varphi(x)/\alpha)]^{1/2}$ ,  $\varphi(x) = \int dx' \rho(x')$ ,  $\Phi = \tau - x + (\pi/12)$ .

В случае  $\rho^{(1)}(0) = \rho^{(2)}(0) = \dots = \rho^{(2n+2)}(0) = 0$

$$E_z(\tau, \xi) = E_0 \left[ F(\tau, \xi) + (-1)^n \alpha^{2n+2} \rho^{(2n+2)}(0) \exp(\sqrt{3}x) \sin \Phi \frac{1}{\sqrt{8\pi x}} \right]. \quad (3b)$$

Из соотношений (3a), (3b), которые верны в области значений

$$\left[\frac{\varphi(x)}{\alpha}\right]^{-1/2} \ll \xi^{2/3} \ll \left[\frac{\varphi(x)}{\alpha}\right]^{2/3} \frac{1}{\rho(x)}, \quad (4)$$

следует, что нарастают осцилляции на плазменной частоте, т. е. развивается резонансная пучковая неустойчивость, несмотря на пологость переднего фронта. Подчеркнем особо, что полученные формулы применимы и в случае инжекции пучка произвольной формы с плотностью, представимой в виде ряда Фурье с ограниченным числом членов и номером  $M$  максимальной гармоники, удовлетворяющим условию  $M \ll (\omega_p T_0)/(2\pi)$  ( $T_0$  — период функции  $n_{b0}(t')$ ).

Однако везде в дальнейшем будем рассматривать симметричные сгустки, плотность которых имеет единственный максимум в центре при  $x = k/2 \sim 1$ .

3. Исследование динамики резонансной пучковой неустойчивости начнем с поиска сечения  $x_m(t)$ , в котором функция  $x$  максимальна в фиксированный момент времени. Соответствующее уравнение имеет вид

$$(\theta - x_m) \rho(x_m) = 2\varphi(x_m), \quad (5)$$

где  $\theta = t/t_0$ .

С помощью (5) и (4) нетрудно убедиться, что неустойчивость начинает развиваться на переднем фронте ( $x_m < 1$ ) сгустка, если

$$\Gamma_0 t_0 \gg 1, \quad (6)$$

где

$$\Gamma_0 = \frac{\sqrt{3} \omega_p}{2\gamma_0} \left( \frac{n_{im}}{2n_p} \right)^{1/3},$$

а на заднем — при выполнении обратного неравенства. В случае инжекции длинного ( $\Gamma_0 t_0 \gg 1$ ) сгустка на малых временах, пока он еще не полностью вышел из плоскости  $z=0$ , максимум амплитуды достигается в сечении  $x_m = \theta/2$  или  $z_m = (v_0 t)/2$  (для РЭП с резким фронтом  $z_m = (2/3) v_0 t$ ). Амплитуда поля в этом сечении пропорциональна  $\exp\{\Gamma_0 t [(t/t_0) \rho'(0)]^{1/3} (3/2)^{1/3}\}$  (для РЭП с резким фронтом амплитуда пропорциональна  $\exp(\Gamma_0 t)$ ).

Возбуждаемое поле квазимонохроматично, поэтому насыщение неустойчивости должно происходить в результате захвата пучковых частиц в потенциальные ямы волны. Для оценки амплитуды насыщения удобно волну разбить на цуги — участки, на которых фаза колебаний  $\Phi$  меняется на  $2\pi$ , и считать, что для выделенного цуга, который будем называть цугом  $x$ , величина фазовой скорости

$$v_\Phi(x, \xi) \simeq v_0 \left( 1 + \frac{q\omega_b}{\omega_p} \right)^{-1/2},$$

где  $q = [\varphi(x)/\alpha\xi]^{1/3}$ , зависит только от координаты  $\xi$ . Поле цуга группирует соответствующие частицы в тормозящей фазе, в результате чего нарастает с увеличением расстояния от плоскости  $z=0$ . Применяя известные представления [11] о насыщении неустойчивости в результате захвата пучковых частиц в потенциальные ямы к фиксированному цугу  $x$  и считая, что движение захваченных частиц в системе отсчета этого цуга нерелятивистское (в этом случае справедливо неравенство  $\beta_0^2 \gamma_0^2 [1 - (v_\Phi/v_0)] \ll 1$ ), получим следующее оценочное выражение для амплитуды насыщения:

$$E_s(x, \xi_s) \sim E_0 q^2(x, \xi_s) \left( 1 + \frac{q\omega_b}{\omega_p} \right)^{-1/2}, \quad (7)$$

где  $\xi_s = \xi_s(x)$  — расстояние, на котором начинается захват частиц цуга  $x$ .

Из условия линейности плазмы  $\partial v_p / \partial t \gg v_p (\partial v_p / \partial z)$  ( $v_p$  — скорость движения электронов плазмы) следует неравенство

$$\left( \frac{q\omega_b}{\omega_p} \right)^2 \ll \gamma_0^{-3} < 1. \quad (8)$$

Приравняв друг другу амплитуды высокочастотной составляющей поля (см. (3)) и насыщения  $E_s(x, \xi_s)$ , придем к уравнению, из которого с учетом неравенств (4), (8),  $\alpha \ll 1$  следует, что

$$\xi_s(x) \simeq \sqrt{\frac{\alpha}{\varphi(x)}} \left[ (2+n) \ln\left(\frac{1}{\alpha}\right) \right]^{1/2}. \quad (9)$$

После подстановки (9) в выражение для  $q$  последнее примет вид

$$q(x) = \sqrt{\frac{\varphi(x)}{\alpha(n+2) \ln\left(\frac{1}{\alpha}\right)}}. \quad (10)$$

Максимальная амплитуда насыщения достигается, как нетрудно убедиться, с помощью (7), (10) на конце сгустка при  $x \simeq k$ . Попутно отметим, что, воспользовавшись соотношением (9), можно найти и время  $t_s(x)$  начала насыщения на цуге  $x$ . Оно определяется из выражения

$$t_s(x) = t_n \frac{x}{k} + \frac{\xi_s(x)}{\omega_b}. \quad (11)$$

Теперь, объединив результаты исследования линейной и нелинейной стадий неустойчивости, воспроизведем полную картину (на качественном уровне) развития резонансной пучковой неустойчивости. На линейной стадии амплитуда поля имеет максимум в сечении  $x_m(t)$ . Стадия насыщения начинается в момент  $t_n = t_s(x_n)$  на цуге  $x_n$ . При  $t > t_n$  прекращается рост амплитуды поля в области  $x_1(t) \leq x_n \leq x_2(t)$ , причем  $E_s(x_1) < E_s(x_2)$ . Процесс насыщения продолжается до момента времени

$$t_{sm} = t_n + \frac{\xi_s(k)}{\omega_b}, \quad (12)$$

когда захватываются последние частицы на конце сгустка. Для определения сечения  $x_n$  нужно решить уравнение

$$\left. \frac{dt_s(x)}{dx} \right|_{x=x_n} = 0.$$

Из приведенного рассуждения следует, что процессы насыщения неустойчивости в рамках задач стационарной и нестационарной инжекции сильно различаются.

Завершая аналитическое исследование динамики резонансной пучковой неустойчивости, перепишем неравенства (8) и  $\beta_0^2 \gamma_0^2 (1 - v_\phi/v_0) \ll 1$  с учетом (10) соответственно в виде

$$S_n \ll \beta_0^2 \sqrt{\gamma_0}; \quad 1, \quad (13)$$

где

$$S_n = \beta_0^2 \sqrt{\frac{n_{bm} \gamma_0^2 (k)}{n_p \alpha (2+n) \ln\left(\frac{1}{\alpha}\right)}}.$$

4. Численное моделирование одномерной динамики сгустка и возбуждаемого поля проводилось на основе решения системы уравнений, связывающей продольное электрическое поле, плазменный ток и ток пучка, который моделировался крупными частицами треугольной формы. Число частиц на длине волны резонансных колебаний было не менее 25. Система уравнений решалась с помощью апробированной [5] разностной схемы, а правильность счета контролировалась с помощью закона сохранения энергии.

Численное моделирование проводилось для формы импульса РЭП вида

$$\rho(t') = \sin^n\left(\pi \frac{t'}{t_n}\right), \quad (14)$$

где  $n=1, 2, \dots, N$ ;  $\alpha N < 1$ .

Везде в дальнейшем, если не оговорено особо, предполагается, что  $n_{bm}/n_p = 10^{-2}$ ,  $\beta_0 = 1/2$ ,  $n=1$ .

На рис. 1 показаны распределения продольного электрического поля

$$E^*(z^*) \left( E^* = \frac{eE_z}{mc\omega_p}, \quad z^* = \frac{\omega_p z}{c} \right)$$

и плотности сгустка  $n_b^*(z^*)$  ( $n_b^* = n_b/n_p$ ) длительности  $t_n^* = 20 \pi$  в различные моменты времени  $t^* = \omega_p t$ . До момента  $t_n^* \simeq 70$  ( $t_n^* \simeq 60$ ) (величины, полученные из оценок, помечены индексом А) неустойчивость развивается в соответствии с предсказаниями линейной теории (рис. 1, а, б), а именно длина волны возбуждаемых колебаний равна  $\lambda^* \simeq 3$ , что с хорошей точностью соответствует длине волны резонансных плазменных колебаний  $\lambda^{*d} = 2\pi\beta_0$ , а максимум амплитуды

находится в  $z_m^* \approx 0.5 \beta_0 t^*$ . При  $t^* = t_n^*$  в сечении  $x_n \approx 0.5 \pi$  ( $x_n^A \approx 0.4 \pi$ ) начинается захват электронов. Максимальная амплитуда  $E_{sm}^* \approx 0.045$  ( $E_{sm}^{*A} \approx 0.04$ ) достигается к моменту времени  $t_{sm}^* \approx 90$  ( $t_{sm}^{*A} \approx 80$ ) в  $z_{sm}^* \approx z_{sm}^{*A} \approx 10$ . Штриховой кривой обозначена скорректированная на основании численных расчетов (в формулу (7) необходимо ввести множитель 1.7) зависимость амплитуды насыщения. Совпадение  $E_{sm}^{*A}(x)$  с расчетными значениями наблюдается только при  $t^* \approx t_n^*(x)$ , когда захватываются частицы пуга  $x$ . После этого амплитуда поля теряет регулярность и уменьшается. Исследование фазовых портретов показало, что захваченные частицы успевают совершить лишь одно баунс-колебание и ока-

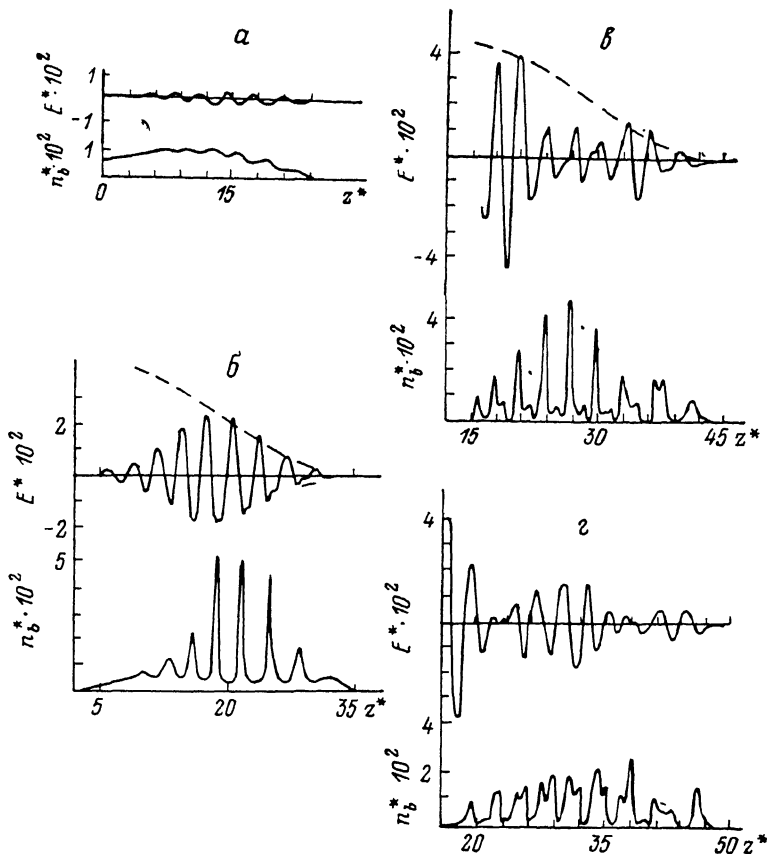


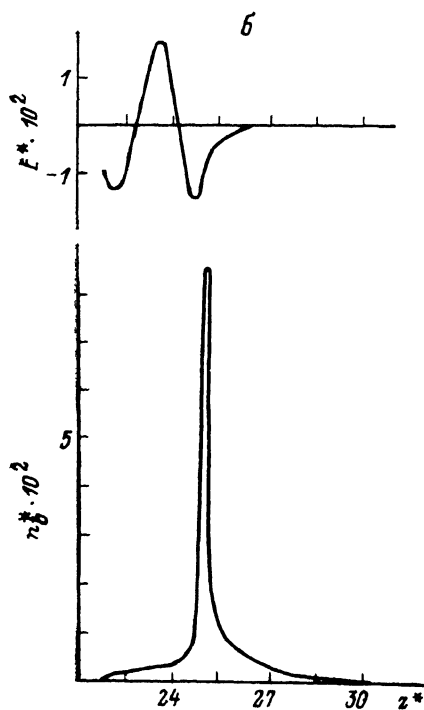
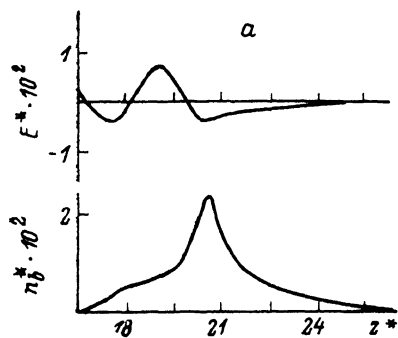
Рис. 1. Динамика поля  $E^*(t^*, z^*)$  и концентрации  $n_b^*(t^*, z^*)$  электронов сгустка длительности  $t_n^* = 20 \pi$ .

Штриховые кривые — аналитическая зависимость амплитуды насыщения,  $t^* = 50$  (а), 70 (б), 90 (в), 100 (з).

зываются рассыпанными на фазовой плоскости. Потеря регулярности амплитуды поля и быстрое разрушение баунс-колебаний связаны с немонахроматичностью возбуждаемого поля [12]. По мере дальнейшего продвижения импульса РЭП его длина возрастает и к моменту  $t^* \approx 300$  увеличивается вдвое.

Исследуем влияние формы сгустка на динамику поля. Из (3) видно, что с увеличением номера  $n$  первой отличной от нуля производной функции  $\rho(x)$  при  $x=0$  роль высокочастотной составляющей поля уменьшается, а низкочастотной увеличивается. Сейчас на примере инъекции сгустка длительности  $t_n^* = 6\pi$  мы увидим их конкуренцию. Не приводя соответствующих рисунков (они аналогичны рис. 1), коснемся особенностей динамики сгустка с  $n=1$  (см. (14)). На линейной стадии максимум амплитуды расположен ближе к заднему фронту ( $\Gamma_0 t_0 < 1$ ). Плотность сгустка возрастает в двух местах — происходит банчировка. Вначале полностью группируется задний банч. Визуально влияние низкочастотного поля на динамику сгустка отсутствует. Иная ситуация возникает в случае  $n=2$  (рис. 2). Вместо группировки частиц в два банча идет

процесс «схлопывания» сгустка вблизи его середины (термин «схлопывание» заимствован из работы [13], в которой помимо филаментации изучалась продольная динамика сгустка в низкочастотном поле). Однако, как нетрудно заметить, на заднем фронте развивается также резонансная пучковая неустойчивость. В соответствии с предсказанием аналитической теории величина  $E_s^*(x)$  уменьшается, а  $z_s^*(x)$  увеличивается. Такая зависимость является следствием укорочения эффективной длительности



сгустка  $\tau_{эфф} = \int_0^{\omega_p t_n} dt \sin^n \alpha t$  с ростом номера

$n$ . Расчеты, проведенные при  $n=6$ , показали, что динамика сгустка и поля мало отличаются от случая  $n=2$  и резонансная пучковая неустойчивость все же проявляется на заднем фронте импульса РЭП.

5. Теперь, зная динамику неустойчивости и уточнив с помощью численных расчетов соотношения для  $E_s(x)$ ,  $\xi_s(x)$ ,  $t_s(x)$ , найдем энергопотери сгустка и их пространственное распределение.

Частицы, соответствующие фиксированному пугу  $x$ , отдают в основном энергию на временном интервале  $0 \leq t \leq t_s(x)$  (захваченные частицы в среднем за период баунс-колебаний не обмениваются энергией с волной), поэтому можно ожидать заметного падения темпа энергопотери при  $t > t_{sm}$ . Выражение для доли теряемой сгустком энергии имеет вид

$$\frac{W(t)}{W_0} = -\frac{v_0}{\omega_b \omega_p} \int_0^{\omega_p t_n} dt \int_0^{\xi(t, \tau)} d\xi j_b(\tau, \xi) E_x(\tau, \xi), \quad (15)$$

где  $W_0 = (mc^2 \gamma_0 n_{bm} v_0 t_0 \varphi(k))$  — начальная энергия сгустка. Черта сверху в подынтегральном выражении означает усреднение по периоду плазменных колебаний.

Рис. 2. Динамика поля  $E^*(t^*, z^*)$  и концентрации  $n_b^*(t^*, z^*)$  электронов сгустка длительности  $t_n^* = 6\pi$  и формы  $\rho = \sin^2(\pi(t/t_n))$ .  $t^* = 50$  (а),  $60$  (б).

Соотношение (15) имеет наглядную физическую интерпретацию — это суммарная потеря энергии всеми пугами при удалении от плоскости  $z=0$ . Для определения энергопотерь сгустка к моменту времени  $t_{sm}$  необходимо в качестве верхнего предела интегрирования по  $\xi$  подставить  $\xi_s(x)$ . Выражение для  $S_b(\tau, \xi)$  находится с помощью уравнений непрерывности и движения для электронов пучка. Опустив несложные преобразования, запишем следующую формулу для энергопотери к концу стадии насыщения:

$$\frac{\Delta W(t_{sm})}{W_0} \approx 0.5 S_n \left( 1 - \frac{3 S_n}{4 \beta^2 \gamma_0^2} \right). \quad (16)$$

Из (16) ясно, что введенный ранее параметр  $S_n$  является аналогом силового параметра Судана, Тода [14].

На рис. 3 приведены полученные в результате численного моделирования зависимости доли теряемой сгустками различной длительности энергии от вре-

мени при  $\beta_0 = 0.5$ ,  $n_{bm}/n_p = 10^{-2}$ ,  $n = 1$ . Вертикальными рисками отмечены моменты времени  $t_{sm}^{*A}$ . Видно, что темп энергопотерь при  $t > t_{sm}^*$  заметно падает. Наихудшее согласие между  $t_{sm}^*$  и  $t_{sm}^{*A}$  ( $t_{sm}^{*A}/t_{sm}^* = 2/3$ ) для  $t_n^* = 6\pi$  связано, по-видимому, с ограниченностью области применимости аналитической модели. Подробнее этот вопрос будет обсуждаться позднее.

Для сгустка длительности  $t_n^* = 6\pi$  стадия насыщения начинается практически одновременно для всех пучков, захваченные частицы колеблются когерентно, поэтому на рис. 3 наблюдается достаточно глубокий минимум при  $t^* \approx 90$ . С ростом длительности стадия насыщения растягивается (например, для  $t_n^* = 80\pi$   $t_n^* \approx 120$ , а  $t_{sm}^* \approx 300$ ), в результате чего одни частицы еще отдают энергию, а другие уже отбирают. Из формулы (16) и из рис. 3 следует, что энергопотери к моменту окончания стадии насыщения слабо зависят от длительности сгустка.

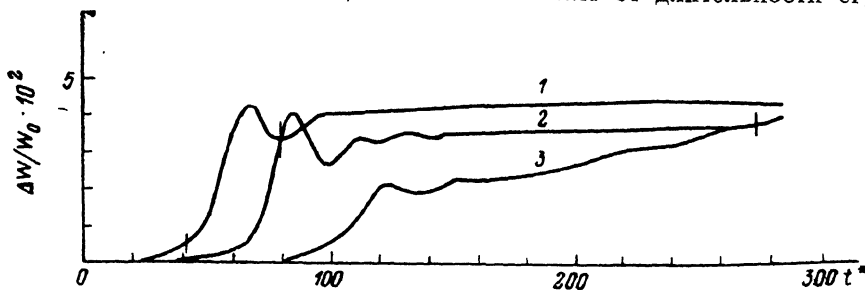


Рис. 3. Энергопотери  $\Delta W/W_0$  сгустков различной длительности в зависимости от времени.  $t_n^* = 6\pi$  (1),  $20\pi$  (2),  $80\pi$  (3).

6. При аналитическом исследовании динамики сгустка были использованы модели, предполагающие выполнение следующих неравенств: а)  $\alpha \ll 1$ , б)  $S_n \ll 1$ , в)  $S_n \ll \sqrt{\gamma_0 \beta_0^2}$ . Условия а и б были проверены с помощью численных расчетов. Наилучшее согласие между

$$\frac{\Delta W(t_{sm}^*)}{W_0} \text{ и } \frac{\Delta W^A(t_{sm}^*)}{W_0} \left( \frac{\Delta W(t_{sm}^*) - \Delta W^A(t_{sm}^*)}{\Delta W(t_{sm}^*)} < 0.2 \right)$$

наблюдалось при  $\alpha \ll 0.1$  и  $S_1 \ll 0.1$ . С ростом параметра  $S_1$  (при увеличении  $\gamma_0$ ) энергопотери растут, достигают максимума  $\max \{ \Delta W(S_1)/W_0 \} \leq 0.15$  при  $S_1 \approx 0.6$ , а затем падают. Причина уменьшения эффективности потерь с ростом силового параметра известна [14] и заключается в различии эффективных масс ускоряемых и замедляемых волной электронов сгустка.

7. Завершая работу, коротко остановимся на основных результатах. Предложено аналитическое описание одномерной динамики пучковой неустойчивости, возбуждаемой в плазме передним фронтом электронного сгустка произвольной формы с пологими фронтами, вплоть до насыщения; показано, что резонансная пучковая неустойчивость развивается при произвольной форме сгустка; показано, что основная часть энергопотерь приходится на временной интервал  $0 \leq t \leq t_{sm}$ ; получено оценочное выражение для потерь к моменту времени  $t_{sm}$ , когда захватываются последние частицы на конце сгустка; определена область параметров, в которой справедливо оценочное соотношение.

#### Список литературы

- [1] Artificial Particle Beams in Space Plasma Studies // Ed. B. Grandal. New York, 1982.
- [2] Simpson J. D. // Nucl. Instr. and Meth. in Phys. Res. 1989. Vol. B40/41. P. 908—911.
- [3] Рухадзе А. А., Рухлин В. Г., Северьянов В. В. // Физика плазмы. 1978. Т. 4. № 2. С. 463—467.
- [4] Рухадзе А. А., Рухлин В. Г., Северьянов В. В. // Краткие сообщения по физике. 1978. С. 10. С. 23—26.
- [5] Веденко П. В., Рухлин В. Г., Тараканов В. П. // Физика плазмы. 1989. Т. 15. № 10. № 1246—1249.
- [6] Кондратенко А. Н., Куклин В. М., Панченко И. В., Севидов С. М. // Тез. докл. Всесоюз. семинара «Плазменная электроника». Харьков, 1983. С. 40—42.
- [7] Shoucri M. M., Storey L. R. O. // Phys. Fluids. 1986. Vol. 29. N 1. P. 262—269.

- [8] *Okuda H., Horton R., Ono M., Ashour-Abdalla M.* // Phys. Fluids. 1987. Vol. 30. N 1. P. 200—208.
- [9] *Куклин В. М., Моисеев С. С., Панченко И. П.* Препринт ИКИ АН СССР. № 1314. М., 1987. 14 с.
- [10] *Коваленко В. П., Пергаменецкий В. М., Старков В. Н.* // Физика плазмы. 1985. Т. 11. Вып. 4. С. 417—424.
- [11] *Ковтун А. И., Рухадзе А. А.* // ЖЭТФ. 1970. Т. 58. Вып. 5. С. 1709—1714.
- [12] *Мациборко Н. Г., Онищенко И. Н., Файнберг Я. И. и др.* // ЖЭТФ. 1972. Т. 63. Вып. 9. С. 874—881.
- [13] *Альтеркоп Б. А., Жексембин С. Р., Рухлин В. Г., Тараканов В. П.* // Физика плазмы. 1985. Т. 11. № 10. С. 1240—1246.
- [14] *Thode L. E., Sudan R. N.* // Phys. Rev. Lett. 1973. Vol. 30. N 6. P. 732—735.

Московский радиотехнический  
институт АН СССР

Поступило в Редакцию  
2 ноября 1989 г.  
В окончательной редакции  
21 февраля 1990 г.